

## تحلیل و پنهان‌بندی مخاطرات مورفو-تکتونیک شهرستان کامیاران



بختیار ولدی\*

کارشناسی ارشد، مخاطرات محیطی، دانشگاه کردستان؛ سنندج، ایران

سعید خضری

دانشیار، ژئومورفولوژی، دانشگاه کردستان؛ سنندج، ایران

محمد صدیق قربانی

استادیار، ژئومورفولوژی، دانشگاه پیام نور

(تاریخ دریافت ۱۳۹۴/۵/۱۸ - تاریخ پذیرش ۱۳۹۴/۶/۲۵)

### چکیده

این پژوهش به ارزیابی کمی تأثیر تکتونیک فعال در توسعه و تحول لندفرم‌ها و پنهان‌بندی خطر آسیب‌های تکتونیکی شهرستان کامیاران در جنوب استان کردستان می‌پردازد. منطقه پژوهش شامل دو حوضه به نام رازآور و سیروان است. داده‌های حاصل از نقشه‌های توپوگرافی، زمین‌شناسی، تصاویر ماهواره‌ای و بررسی‌های میدانی با نرم‌افزارهای EXCEL و ARC GIS تجزیه و تحلیل شدند. در ارزیابی کمی تأثیر تکتونیک فعال در تحول لندفرم‌ها از شاخص‌های مورفو-تکتونیکی (شاخص شب طولی رودخانه، سینوزیتۀ جبهه کوهستان، شاخص پهنه‌ای کف دره نسبت به ارتفاع و شاخص عدم تقارن حوضه) استفاده شد و نتایج ارزیابی به صورت شاخص نسبی فعالیت‌های تکتونیکی (lat) ارائه شد. برای پنهان‌بندی خطر آسیب‌های تکتونیکی از متغیرهای طبیعی (شب، سطح ایستایی آب، مقاومت لیتوژوژی، فاصله از گسل و ترکیب نقشه‌های حاصل از آنها) استفاده شد، سپس تجزیه و تحلیل و همپوشانی لایه‌های اطلاعاتی در محیط نرم‌افزار GIS ARC با استفاده از مدل وزن دهنی سلسه‌مراتبی (AHP) اجرا و منطقه پنهان‌بندی شد. نتایج نشان داد این شهرستان بدلیل قرار گرفتن در دو زون ساختاری سنندج - سیرجان و زاگرس مرتفع، تنوع سنگ‌شناسی و وجود گسل‌ها دارای وضعیت ژئومورفیک ویژه‌ای است. نتایج حاصل از شاخص‌های مورفو-تمتری در هر دو حوضه آبخیز بیانگر فعال بودن منطقه تحقیق از نظر فعالیت‌های تکتونیکی است. براساس شاخص lat، دو حوضه شمالی و جنوبی در کلاس فعالیت‌های تکتونیکی شدید قرار دارد. بنابر نقشه آسیب‌پذیری تکتونیکی تحلیل سلسه‌مراتبی، بیشترین خطر نسبی منطقه در محدوده شمال، جنوب غرب و قسمت‌هایی از شمال شرق واقع است. نواحی مرکزی حوضه‌های شمالی و جنوبی دارای حد متوسط آسیب‌پذیری است. بیشترین سطح منطقه تحقیق در محدوده‌ای با آسیب‌پذیری زیاد قرار دارد و کمترین آسیب‌پذیری نسبی نیز به صورت پراکنده در حوضه‌های شمالی و جنوبی مشاهده می‌شود.

**واژه‌های کلیدی:** آسیب تکتونیکی، پنهان‌بندی، تحلیل سلسه‌مراتبی، کامیاران، مورفو-تکتونیک.

### مقدمه

مخاطرات همواره بخشی از تاریخ حیات انسان‌اند و ممکن است انسانی یا طبیعی باشند و نتیجه هرچه باشد هم به انسان و هم به محیط طبیعی او بر می‌گردد [۲]. در بحث مخاطرات طبیعی و انسانی، شناخت کامل سیستم در معرض خطر و عوامل تهدیدکننده آن ضروری است [۴]. ارزیابی آسیب‌پذیری محیط زیست انسان از خطرها، بهخصوص با توجه به اهمیت اثر تغییرات زیست‌محیطی جهان و همچنین تغییرات اجتماعی و اقتصادی، موضوعی در حال رشد است. از این‌رو، راهبرد کاهش خطر آسیب‌پذیری برای توسعه کارامد ضروری است [۱۷].

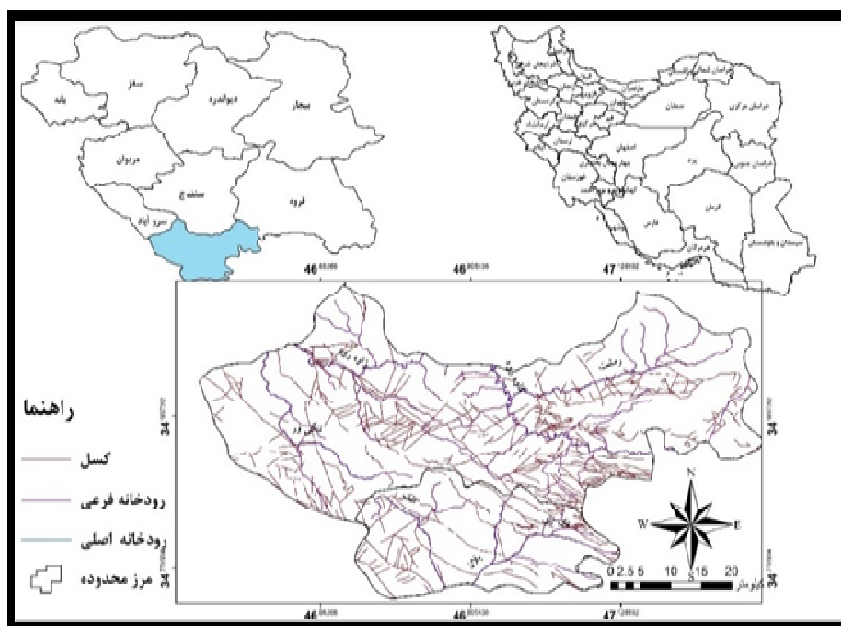
تحول ناهمواری‌های سطح زمین نتیجه عملکرد یک رشته از عوامل و فرایندهایی است که از این بین می‌توان به تکتونیک فعال اشاره کرد [۱۸]. برای شناخت عملکرد فعالیت‌های تکتونیکی و میزان اثرگذاری آنها در عوارض مختلف می‌توان از برخی اندازه‌گیری‌های مورفومتریکی استفاده کرد. با تعیین هر یک از اندیس‌های ریخت‌شناسی و مقایسه ترکیب آنها با هم می‌توان به شناسایی تکتونیک فعال و فعالیت‌های زمین‌ساختی نسبی پی برد [۲۲]. شاخص‌های تکتونیک فعال به طور معمول در مناطق محدود از نقشه‌های توپوگرافی استخراج می‌شوند. در این پژوهش سعی شده در محاسبات از مدل رقومی ارتفاع (DEM) استفاده شود [۲۰].

در مورد میزان آسیب‌پذیری و پهنگ‌بندی خطر آسیب‌های تکتونیکی پژوهش‌های فراوانی انجام گرفته است. اما از نظر روش‌شناسی و فرایند کار تقریباً متفاوت بوده‌اند که از آن جمله می‌توان به مطالعات نگارش [۱۳]، ارفع‌نیا [۱]، ملکی [۱۰]، میرزایی و حیدری [۱۲]، شهری و همکاران [۸]، بنیاد مسکن [۵]، قنبری و همکاران [۱۹]، و امیراحمدی و آب‌باریکی [۳] اشاره کرد. در بررسی منابع خارجی می‌توان به مطالعات جکسون و همکاران [۲۵]، سیلووا [۲۱]، رامیرز [۲۲]، توندون و همکاران [۲۴]، لی و همکاران [۱۹]، لاوراپ [۲۰]، بال و مکفادن [۱۶]، و آندروس [۱۵] در زمینه آسیب‌پذیری مناطق در مقابل خطر فعالیت‌های تکتونیکی برای مناطق مختلفی از جهان اشاره کرد. در برخی از مطالعات یادشده صرفاً عوامل طبیعی و ژئومورفولوژیک و در برخی صرفاً عوامل اجتماعی و کالبدی و در کل عوامل انسانی مدنظر قرار گرفته‌اند.

### موقعیت جغرافیایی شهرستان کامیاران

شهرستان کامیاران، با مساحت ۲۰۵۵/۱۰ کیلومتر مربع در غرب ایران و جنوب استان کردستان و بین طول جغرافیایی ۴۶ درجه و ۳۰ دقیقه و ۳۰ ثانیه تا ۴۷ درجه و ۲۰ دقیقه و ۳

ثانیه شرقی از نصفالنهار گرینویچ و عرض جغرافیایی ۳۴ درجه و ۴۴ دقیقه و ۳۵ ثانیه تا ۳۵ درجه و ۹ دقیقه و ۵۳ ثانیه شمالی از خط استوا، قرار دارد (شکل ۱).



شکل ۱. نقشه موقعیت تحقیق

### مواد و روش‌ها

در این پژوهش به منظور ارزیابی فعالیت‌های تکتونیکی و پهنه‌بندی خطر آسیب و فعالیت‌های تکتونیکی برای منطقه تحقیق از شاخص‌های مورفومتری پرکاربرد استفاده شد. شاخص‌ها با توجه به کوهستانی بودن منطقه انتخاب شد که با استفاده از نقشه DEM با قدرت تفکیک ۳۰ متر محاسبه و از معیارهای طبیعی برای پهنه‌بندی منطقه استفاده شد.

شاخص‌ها عبارتند از:

#### الف) شاخص شبی طولی رودخانه

این شاخص از رابطه زیر به دست آمد:

$$SL = \left( \frac{\Delta H}{\Delta L} \right) \times L \quad (1)$$

در رابطه ۱،  $SL$  شاخص گرادیان رودخانه،  $\Delta H$  اختلاف ارتفاع در یک مقطع خاص از رودخانه به متر،  $\Delta L$  فاصله افقی همان محل به متر، و  $L$  طول رودخانه از نقطه مرکزی مقطع اندازه‌گیری شده تا سرچشمۀ رودخانه به متر است. مقادیر عددی شاخص گرادیان رودخانه زمانی که سنگ‌های بستر رودخانه مقاوم باشند یا در مناطقی که حرکات تکتونیکی فعال در تغییر شکل قائم پوسته زمین مؤثر باشند، زیاد است [۶، ۱۴، ۲۳]. به عبارت دیگر هنگامی که سطح اساس پایین برود،  $SL$  کاهش می‌یابد و بر عکس زمانی که سطح اساس بالا بیاید، مقداری از مواد در بستر رودخانه انباشته شده و سبب پرشدن بستر می‌شود و در نتیجه مقدار  $SL$  را زیاد می‌کند. شاخص گرادیان رودخانه از شاخص‌های مهم برای تفکیک مناطق فعال و غیرفعال تکتونیکی به شمار می‌رود.

#### ب) شاخص سینوزیتۀ جبهۀ کوهستان

بر روی نقشه توپوگرافی با درنظر گرفتن پیچ و خم خطوط منحنی میزان در محل اتصال کوهستان به کوهپایه، محدوده‌هایی به طول دلخواه و با توجه به تغییر در شکل خطوط میزان انتخاب شده و خطی بر منحنی میزان مماس شد و با محاسبۀ طول سراشیبی تند کوهستان در مرز بین کوهستان و کوهپایه ( $Lmf$ ) و طول خط مماس در امتداد سراشیبی تند کوهستان ( $Ls$ )، میزان سینوزیتۀ جبهۀ کوهستان یا پیچ و خم ( $S$ ) از رابطه ۲ به دست آمد و فعالیت یا عدم فعالیت تکتونیکی با مراجعه به جدول مبنا ارزیابی شد.

$$Smf = \left( \frac{Lmf}{Ls} \right) \quad (2)$$

در رابطه ۲  $Smf$  پیچ و خم جبهۀ کوهستان  $Lmf$  در مرز بین کوهستان و کوهپایه به کیلومتر، و  $Ls$  طول خط مستقیم در جبهۀ کوهستان به کیلومتر است. این شاخص برای مناطق بسیار فعال  $Smf < 1/1$ ؛ برای مناطق با فعالیت متوسط بین  $1/5 - 1/1$ ؛ برای مناطق بسیار فعال  $Smf > 1/1$ ؛ برای مناطق با فعالیت متوسط بین  $1/5 - 1/1$ ؛ و برای جبهه‌های کوهستانی غیرفعال تکتونیکی  $Smf < 1/5$  است [۲۵].

#### ج) شاخص نسبت پهنه‌ای کف دره به ارتفاع

شاخص دیگری که برای بررسی میزان فعالیت نیروهای زمین‌ساختی استفاده شده شاخص نسبت پهنه‌ای کف دره به ارتفاع است. برای به دست آوردن این شاخص از رابطه زیر استفاده شد:

$$VF = \frac{\nabla FW}{(Eld - Esc) + (Erd - Esc)} \quad (3)$$

در این رابطه،  $Vf$  نسبت پهنه‌ای کف دره به ارتفاع آن،  $vfw$  پهنه‌ای کف دره به متر،  $Eld$  ارتفاع سمت چپ دره به متر،  $Erd$  ارتفاع سمت راست دره به متر و  $Esc$  ارتفاع کف دره به متر است. اگر مقدار  $Vf$  کوچک‌تر از یک باشد، تکتونیک بسیار فعال است، اگر بین ۱ و ۲ باشد، نیمه‌فعال است و اگر بزرگ‌تر از ۲ باشد غیرفعال یا در واقع آرام است [۱۶].

#### ۵) شاخص عدم تقارن حوضه آبریز

این شاخص از رابطه زیر به دست آمد:

$$AF = 100 \cdot (Ar / At)$$
 (۴)

در رابطه ۴،  $AF$  شاخص عدم تقارن،  $Ar$  مساحت قسمت راست حوضه (درجہت پایین رود) نسبت به آبراهه اصلی (به کیلومتر مربع) و  $At$  مساحت کل حوضه زهکشی (کیلومتر مربع) است. هرگاه مقادیر عددی این شاخص در حدود ۵۰ باشد، بیانگر وجود تقارن زهکش‌های فرعی نسبت به آبراهه اصلی و در نتیجه نبود کج‌شدنی بر اثر تکتونیک خواهد بود. مقادیر بیشتر از ۵۰ حاکی از کج‌شدنی حوضه زهکشی و به ترتیب بیانگر عملکرد فرسایش در ساحل راست و چپ آبراهه اصلی خواهد بود [۱۴].

#### ۶) شاخص فعالیت نسبی تکتونیک

پس از برآورد شاخص‌های ژئومورفولوژیک منطقه تحقیق و تعیین کلاس آنها، ارزیابی نسبی فعالیت‌های تکتونیکی منطقه از شاخص  $Iat$  طبق فرمول زیر صورت گرفت:

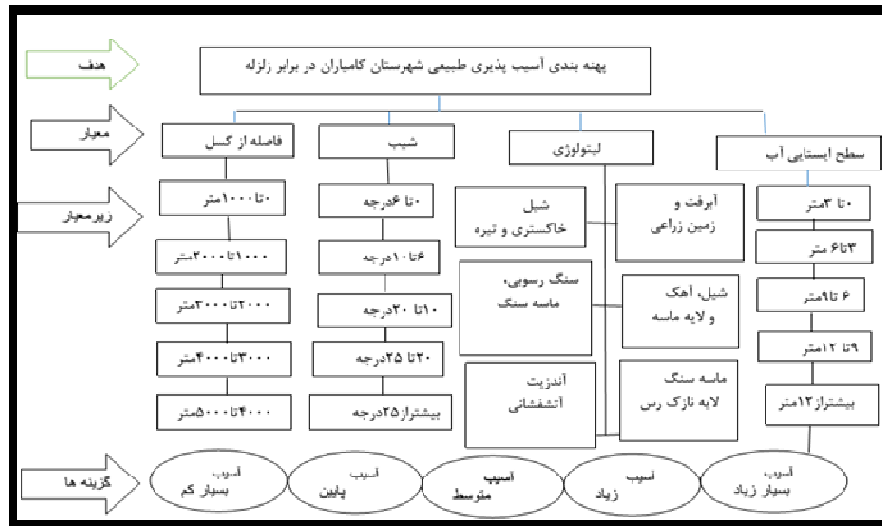
$$Iat = \frac{S}{n}$$
 (۵)

در این رابطه  $Iat$  شاخص فعالیت نسبی تکتونیک،  $S$  مجموعه کلاس‌های شاخص‌های ژئومورفولوژیک محاسبه شده و  $n$  تعداد شاخص‌های محاسبه شده است. طبقه‌های مختلف شاخص  $Iat$  به صورت زیر است [۲۵، ۲۶]:

$Iat = 1 - 1/5$  فعالیت‌های تکتونیکی شدید،  $2 < Iat < 1/5$  فعالیت‌های تکتونیکی زیاد،  $2/5 < Iat < 2$  فعالیت‌های تکتونیکی متوسط و  $Iat > 2/5$  فعالیت‌های کم و ناچیز.

#### پهنه‌بندی خطر و آسیب‌های تکتونیکی

پس از محاسبه شاخص‌ها پهنه‌بندی خطر و آسیب‌های تکتونیکی محدوده تحقیق صورت گرفت. روش کار بر مبنای تجزیه و تحلیل و همپوشانی لایه‌های اطلاعاتی در محیط نرم‌افزارهای GIS با استفاده از مدل سلسه‌مراتبی (AHP) است (شکل ۲).



شکل ۲. درخت سلسله‌مراتبی [۲۳]

معیارهای مورد استفاده برای پنهانه‌پندی تعیین شد که این کار با استفاده از مطالعات کتابخانه‌ای، مطالعات متون مرتبط با موضوع، بررسی تحقیقات پیشین و استفاده از نظر کارشناسی در این زمینه انجام گرفت و معیارهای مؤثر در آسیب‌پذیری (طبیعی) شهرستان در برابر فعالیت‌های تکتونیکی تعیین شد. چهار متغیر (معیار طبیعی) شامل فاصله از خطوط گسل، مقاومت لیتوژوژی، شیب و سطح ایستایی آب به عنوان عوامل دخیل در شدت آسیب‌پذیری تکتونیکی انتخاب شدند.

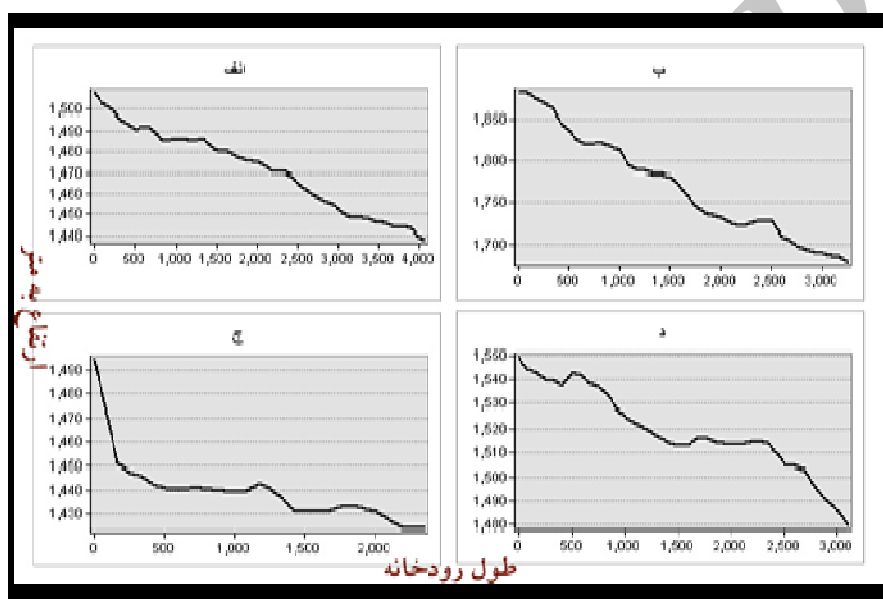
### یافته‌های پژوهش

#### الف) شاخص شیب طولی رودخانه

جدول ۱. مقادیر شاخص گرادیان طولی رودخانه‌های منطقه پژوهش

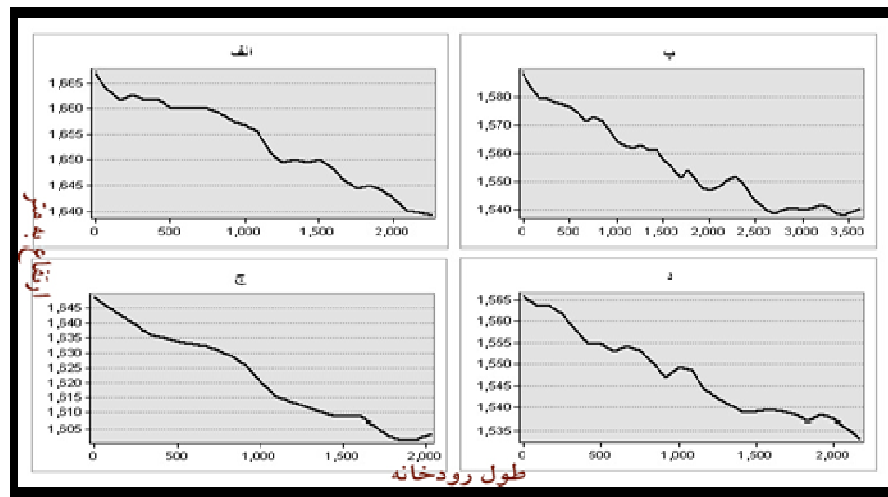
ارتفاع به متر	مقدار SL حوضه	ارتفاع به متر	مقدار SL حوضه
۱۶۳۸ - ۱۶۶۷	۱۲۹	۱۴۳۸ - ۱۵۳۸	۵۳
۱۵۳۷ - ۱۵۸۹	۱۹۹	۱۶۴۰ - ۱۸۷۴	۱۳۸
۱۶۰۲ - ۱۶۴۸	۱۸۷	۱۴۲۶ - ۱۵۰۹	۱۰۲
۱۵۳۲ - ۱۵۶۷	۲۱۷	۱۴۷۳ - ۱۵۴۹	۱۲۴

با توجه به جدول ۱، مقادیر زیاد به دست آمده گرadiان طولی رودخانه، بیانگر فعالیت‌های شدید تکتونیک منطقه است. همان‌طور که در نیمرخ طولی حوضه جنوبی (شکل ۳) مشاهده می‌شود، بیشترین میزان گرadiان در ارتفاع ۱۸۷۴ تا ۱۶۴۰ متری است که در این مقطع میزان SL است. با مراجعت به نقشه زمین‌شناسی و مشاهدات میدانی ملاحظه می‌شود که این بخش از حوضه با گسل‌های منطقه مطابقت دارد. علاوه بر تأثیر گسل، مقاوم بودن سنگ بستر (آهک بیستون) در افزایش گرadiان طولی در این بخش تأثیر داشته است.



شکل ۳. پروفیل طولی رودخانه اصلی در حوضه جنوبی (رازآور)

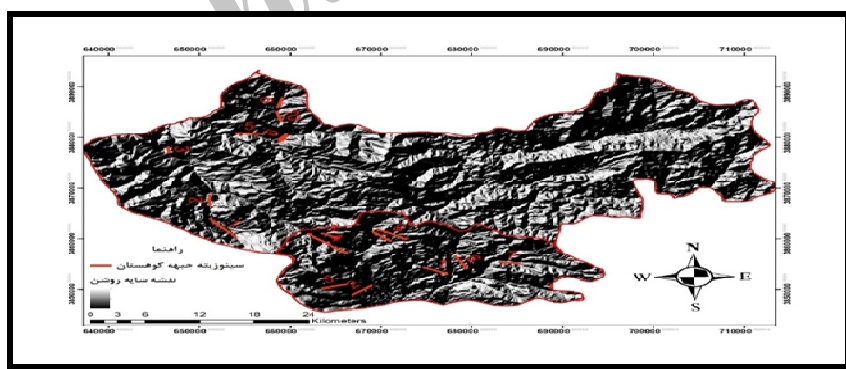
در حوضه شمالی با توجه به نیمرخ طولی (شکل ۴) و جدول ۱ میزان گرadiان طولی در پایین دست رودخانه بیشتر از قسمت‌های بالایی رودخانه است. با اینکه در این قسمت سنگ‌ها از جنس سست (مارن و شیل) هستند، میزان شاخص SL به ۲۱۷ در ارتفاع ۱۵۳۲ تا ۱۵۶۷ افزایش یافته است که نشان‌دهنده فعالیت بیشتر این قسمت از حوضه بهدلیل انطباق بستر زهکش اصلی بر گسل طولی (مروارید) است.



شکل ۴. پروفیل طولی رودخانه اصلی حوضه شمالی (سیروان)

#### ب) شاخص سینوزیتۀ جبهه کوهستان

جدول ۲ مقادیر شاخص Smf و فعالیت تکتونیکی قطعات مختلف جبهه کوهستان را در دو حوضه مورد مطالعه در منطقه نشان می‌دهد. براساس دستبندی [۲۵] میانگین به دست آمده مقدار Smf در دو حوضه (حوضه شمالی ۷۱۹/۰ و حوضه جنوبی ۰/۸۲۳) بیانگر فعالیت تکتونیکی فعال منطقه است. شکل ۵ موقعیت جبهه‌های اندازه‌گیری شده را نشان می‌دهد.



شکل ۵. نقشه سه‌بعدی سایه‌روشن نامهواری‌ها که موقعیت جبهه‌های اندازه‌گیری شده بر روی آن مشخص شده است.

جدول ۲. مقادیر شاخص Smf در منطقه تحقیق

Smf	Lmf(Km)	LS(Km)	ردیف
۰.۷۳۲	۳.۱۴	۴.۲۵۰	۱
۰.۷۸۵	۳.۱۲	۲.۹۷	۲
۰.۶۴۹	۲.۲۸۵	۳.۲۹	۳
۰.۷۶۷	۲.۸۵۴	۲.۸۵۴	۴
۰.۷۷۱	۲.۹۲۴	۳.۷۹	۵
۰.۶۷۵	۲.۹۲۸	۴.۳۳۲	۶
۰.۸۶۵	۲.۴۳۷	۲.۸۱۷	۷
۰.۶۴۳	۳.۸۸	۶.۰۲۸	۸
۰.۵۸۷	۳.۰۱۰	۵.۱۲۰	۹
۰.۷۱۹	میانگین کل حوضه		
۰.۹۲۷	۴.۹۷۶	۵.۳۶۵	۱
۰.۸۴۲	۲.۳۰۳	۲.۷۳۴	۲
۰.۹۳۲	۲.۵۳۷	۲.۷۲۲	۳
۰.۸۶۵	۱.۳۰۷	۱.۵۱۰	۴
۰.۶۸۴	۲.۹۵۱	۴.۳۱۴	۵
۰.۷۵۷	۱.۶۹۰	۲.۲۳۰	۶
۰.۷۵۵	۱.۶۳۴	۲.۱۶۴	۷
۰.۷۵۴	۱.۷۱۷	۲.۲۷۷	۸
۰.۸۹۵	۲.۱۲۴	۲.۳۷۳	۹
۰.۸۲۳	میانگین کل حوضه		

حوضه  
شمالی

حوضه  
جنوبی

ج) شاخص نسبت پهنه‌ای کف دره به ارتفاع آن مقادیر شاخص در همه مقاطع اندازه‌گیری شده در منطقه تحقیق براساس طبقه‌بندی همدونی بیانگر تأثیر نقش زمین‌ساخت در مورفولوژی و شکل بودن دره‌هاست که این امر نشان دهنده این واقعیت است که آبراهه‌ها در پاسخ به زمین‌ساخت فعال در حال برش رو به پایین هستند. نتایج محاسبه این شاخص در جدول ۳ آمده است.

### جدول ٣. مقادیر شاخص $V_f$ - در منطقه تحقیق

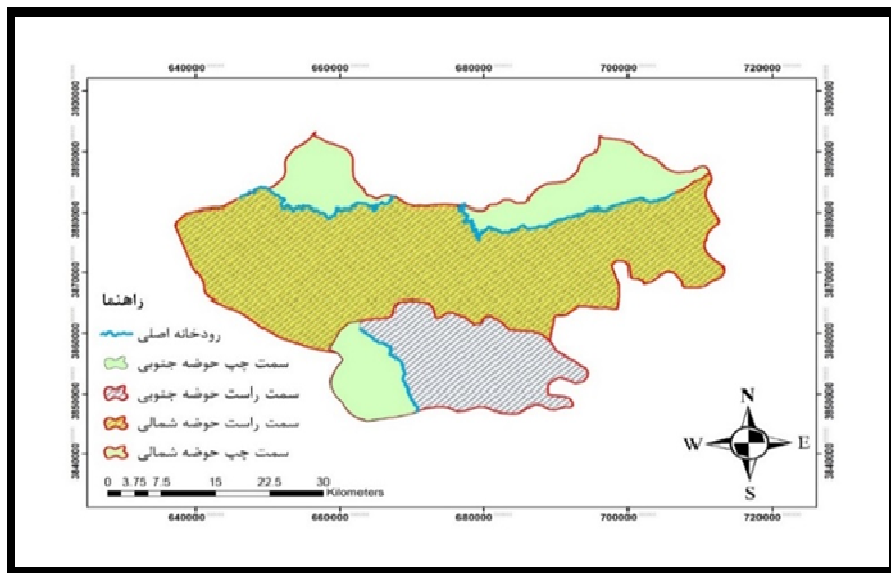
Vf	Erd	Eld	Esc	Vfw	ردیف
•/٦٥	٢١١٤	٢٢٠٣	١٦٧٣	٢٩٩	١
•/٤٦	١٧٩٩	٢٠١٠	١٣٧٥	٢٤٧	٢
•/٤٣	٢٠٤٥	٢١٦٧	١٥٤١	٢٤٨	حوضة شمالی
•/٣٦	١٨٢٢	٢٢٠٣	١٥٦٣	١٦٥	
•/٤٢	٢١٩٣	١٩٧٧	١٨١٤	١١٤	
•/٥٨	٢٢٦٣	١٧٥٤	١٦٦٦	٢٠٢	
•/٥٨	٢٠١٥	٢٠١٩	١٧٥٧	١٨١	
•/٥٦	٢١٢٣	١٩٧٧	١٧٥٦	١٥٩	
•/٦٧	٢٢٨٩	٢٢٩٥	١٩٨٤	٢٠٧	
•/٧٠	٢٠٥٢	٢١٦٤	١٧٨٥	٢٢٧	
•/٥٤					میانگین
•/٧٣	١٩٩٤	٢١٢٣	١٨٣١	١٦٨	١
•/٨٦	٢١١٤	٢١٨٨	١٩٢٥	١٩٥	حوضة جنوبی
•/٦١	٢١٤٨	٢٢١٨	١٩٨٨	١١٩	
•/٥٦	١٩٢٥	١٨٩٣	١٦٩٢	١٢٣	
•/٨٦	١٧٠١	١٦٩٦	١٥٤٧	١٣١	
•/٦٦	١٨٣٠	٢٠٠١	١٧٨٤	٨٧	
•/٨٢	٢٠٢٣	٢١٢٠	١٩١٨	١٢٧	
•/٦٧	١٧٥٢	١٧٨٢	١٦٥٢	٨٨	
•/٧٢					میانگین

د) شاخص عدم تقارن حوضه آبریز

[۲۶] براساس طبقه‌بندی ۷۹/۴۳ و حوضه جنوبی با مقدار ۷۳/۷۷ در کلاس یک با فعالیت زمین‌ساختی خیلی فعل قرار می‌گیرند (جدول ۴). این مورد حاکی از بالآمدگی در سمت راست رودخانه اصلی حوضه جنوبی و بالآمدگی در سمت چپ رودخانه اصلی حوضه شمالی بهعلت فعالیت راندگی گسل‌های منطقه است. شکل ۶ مقادیر زیاد این شاخص را در دو حوضه شمالی و جنوبی بهخوبی نشان می‌دهد.

#### جدول ٤. مقادیر شاخص Af در منطقه تحقیق

نام حوضه	شاخص Af	(AF-50)	کلاس
حوضه شمالی	۷۹.۴۳	۲۹.۴۳	۱
حوضه جنوی	۷۳.۷۷	۲۳.۷۷	۱



شکل ۶. محاسبه شاخص عدم تقارن در دو حوضه شمالی و جنوبی تحقیق

#### ۵) شاخص ارزیابی نسبی فعالیت تکتونیک (Iat)

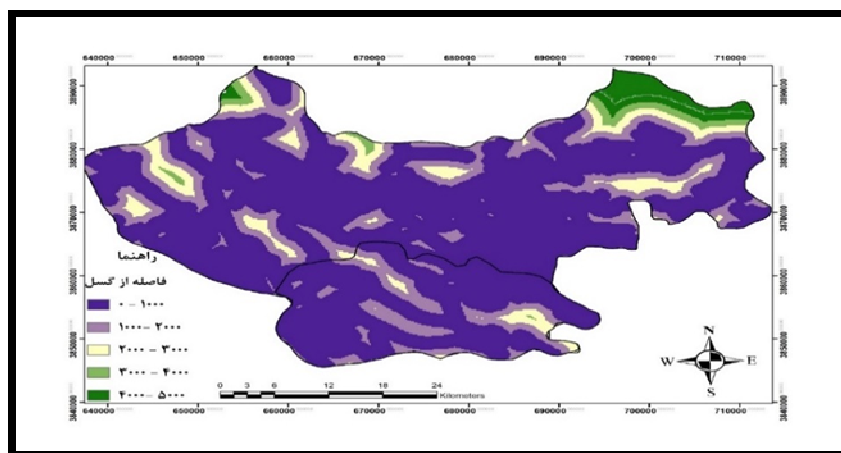
جدول ۵. مقادیر شاخص Iat در منطقه تحقیق

کلاس	Iat	Af	Smf	SL	Vf	شاخص
متوسط	۲	۱	۱	۱	۱	حوضه شمالی
زیاد	۱	۱	۱	۱	۱	حوضه جنوبی

این ارزیابی نشان می‌دهد که حوضه شمالی از نظر فعالیت زمین‌ساختی دارای فعالیت‌های بسیار زیاد و حوضه جنوبی دارای فعالیت زمین‌ساختی زیاد است. بر اساس شاخص Iat دو حوضه شمالی و جنوبی در کلاس زیاد (۱) قرار می‌گیرند که نشان‌دهنده فعالیت‌های تکتونیکی شدید در منطقه تحقیق است.

### لایه‌های اطلاعاتی پارامترهای طبیعی در پهنه‌بندی آسیب‌پذیری منطقه

#### الف) لایه فاصله از گسل



شکل ۷. نقشه فاصله از گسل بر حسب متر

جدول ۶. نتایج حاصل از بافربندی

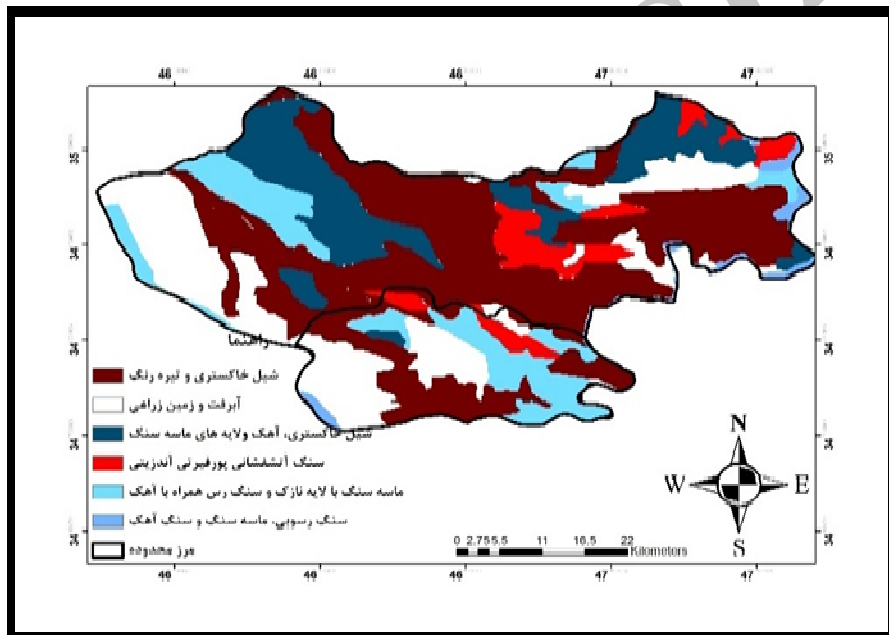
مساحت به کیلومتر مربع	فاصله از گسل
۱۴۴۹/۵۲	۰-۱۰۰۰
۳۸۱/۲۶	۱۰۰۰-۲۰۰۰
۸۷/۱۲۶	۲۰۰۰-۳۰۰۰
۴۳/۳۵	۳۰۰۰-۴۰۰۰
۶۹/۲۴	۴۰۰۰-۵۰۰۰

#### ب) لایه لیتولوژی

بیشترین مساحت لیتولوژی منطقه تحقیق براساس نقشه زمین‌شناسی ۱/۱۰۰۰۰۰ به ترتیب انواع سنگ‌های رسوبی: آهک (۴۳/۳۰ درصد)، انواع شیل (۸/۲۹ درصد)، آبرفت و نهشته‌های رودخانه‌ای (۹۱/۲۵ درصد) و سنگ‌های آتش‌فشاری (۸۶/۱۳ درصد) را در بر گرفته است (شکل ۸). امتیازدهی به نوع لیتولوژی براساس جدول ۷ صورت گرفته است.

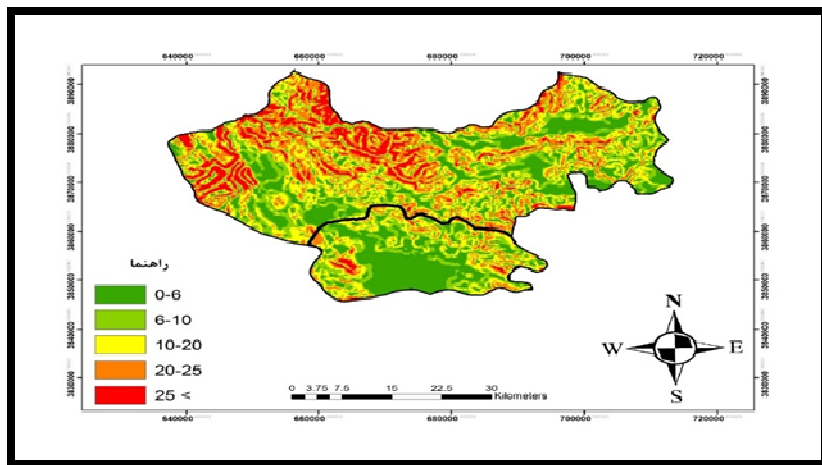
جدول ۷. ضریب اهمیت زیرمعیار لیتوژئی [۸]

ضریب	درصد	اسم کامل سنگ	علامت اختصاری
۶	۲۲/۱۸	شیل خاکستری و تبره‌زنگ	Kussh
۷	۲۵/۹۱	آبرفت و زمین زراعی	Qft2
۴	۷/۶۲	شیل خاکستری، آهک و لایه‌های ماسه‌سنگ	Kupl
۲	۱۳/۸۶	سنگ آتش‌شانی پورفیری آندزیتی	K2va
۱	۱/۸۰	ماسه‌سنگ با لایه نازک و سنگ رس همراه	Kpef
۱	۲۸/۶۳	سنگ رسوبی، ماسه‌سنگ و سنگ آهک	peEf



شکل ۸. نقشه لیتوژئی شهرستان کامیاران (برگرفته از نقشه زمین‌شناسی ۱:۱۰۰۰۰۰ کامیاران، سازمان زمین‌شناسی)

ج) لایه شیب  
معیار شیب در پنج طبقه و با ضرایب اهمیتی که در شل ۹ آمده طبقه‌بندی شده است [۱۱].



شکل ۹. نقشهٔ شب منطقه براساس درجه

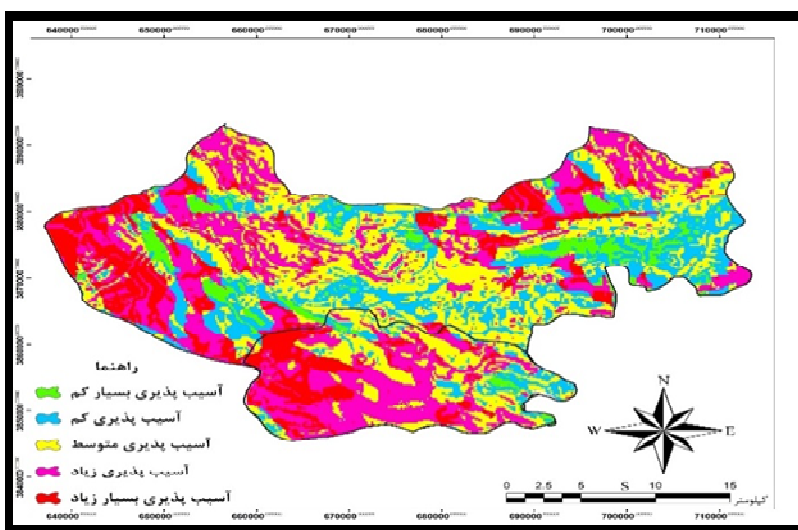
جدول ۸. ماتریس  $4 \times 4$ 

	A	B	C	D
A	1	$\frac{1}{9}$	$\frac{1}{7}$	$\frac{1}{5}$
B	$\frac{9}{1}$	1	$\frac{9}{7}$	$\frac{9}{5}$
C	$\frac{7}{1}$	$\frac{7}{9}$	1	$\frac{7}{5}$
D	$\frac{5}{1}$	$\frac{5}{9}$	$\frac{5}{7}$	1

جدول ۹. ضریب اهمیت چهار معیار طبیعی براساس مدل تحلیل سلسله‌مراتبی در محیط سیستم اطلاعات جغرافیایی

لایه	وزن کارشناسی	وزن نهایی	
فاصله از گسل	۹	۰/۴۰۹	
مقاومت لیتوژوئی	۷	۰/۳۱۸	
شب	۵	۰/۲۲۷	
سطح ایستایی آب	۱	۰/۰۴۵	
		۰/۰۰۱۷	Cr

نتایج حاصل از همپوشانی لایه‌ها در شکل ۱۰ منعکس شده است.



شکل ۱۰. نقشه آسیب‌پذیری شهرستان کامیاران در مقابل فعالیت‌های تکتونیکی براساس مدل تحلیل سلسه‌مراتبی [۷]

### نتیجه‌گیری

بررسی شاخص‌های مورفومتری در منطقه تحقیق نشان می‌دهد که منطقه از زمین‌ساخت فعالی برخوردار است. مقادیر کم شاخص  $Vf$  در منطقه نشان‌دهنده تأثیر زمین‌ساخت در مورفوژوئی و  $V$  شکل بودن دره‌ها و همچنین تأثیر گسل در تشکیل این دره‌هاست که مشاهدات میدانی این واقعیت را تأیید می‌کند. شاخص عدم تقارن حوضه زهکش در حوضه شمالی با مقدار  $79/43$  و در حوضه جنوبی با مقدار  $73/77$  بیانگر زمین‌ساخت خلیلی فعال است. مقادیر زیاد گرادیان طولی رودخانه‌ها بیانگر فعالیت‌های شدید تکتونیکی منطقه است که این امر به علت تأثیر گسل، مقاوم بودن سنگ بستر (آهک بیستون) در حوضه جنوبی و عبور گسل مروارید و گسل‌های عمود بر آن و انطباق بستر زهکش اصلی بر گسل طولی در حوضه شمالی است. نتایج حاصل از بررسی سینوزیتۀ کوهستان با توجه به میانگین به دست آمده در دو حوضه (شمالی  $0/719$  و جنوبی  $0/823$ ) بیانگر تکتونیکی فعال است. ارزیابی نسبی فعالیت‌های تکتونیکی این واقعیت را آشکار می‌کند که دو حوضه با درجات مختلف از حرکات تکتونیکی متأثر شده‌اند، به‌طوری که فعالیت

تکتونیک در حوضه شمالی بیشتر از حوضه جنوبی است. نقشه آسیب‌پذیری در مقابل فعالیت‌های تکتونیکی منطقه (شکل ۱۰) بر اساس چهار معیار فاصله از گسل، مقاومت لیتولوژی، شیب و سطح ایستایی آب، بر پایه مدل سلسله‌مراتبی نشان می‌دهد که بیشترین خطر نسبی منطقه شمال و جنوب غرب و همچنین قسمت‌هایی از شمال شرق پراکنده است. بیشترین سطح منطقه تحقیق در محدوده با آسیب‌پذیری زیاد قرار دارد و کمترین میزان آسیب‌پذیری نسبی نیز به صورت پراکنده در حوضه‌های شمالی و جنوبی مشاهده می‌شود. نواحی مرکزی حوضه‌های شمالی و جنوبی نیز دارای حد متوسط آسیب‌پذیری است. نتایج پژوهش نشان می‌دهد که شهرستان کامیاران حساس‌ترین شهرستان استان کردستان از لحاظ فعالیت تکتونیکی محسوب می‌شود و بخش بزرگی از مساحت آن در پهنه پر خطر قرار دارد.

#### منابع

- [۱]. ارفع‌نیا، رامین (۱۳۸۹)، تکتونیک فعال در منطقه اقلید، کاربرد مدل رقومی سرزمنی (DTM) در مورفو-تکتونیک. *فصلنامه زمین‌شناسی کاربردی*. شماره ۴: ۲۵۶ – ۲۴۵.
- [۲]. امیدوار، کمال (۱۳۹۰)، *مخاطرات طبیعی*. انتشارات دانشگاه یزد، ۳۱۱ صفحه.
- [۳]. امیراحمدی، ابوالقاسم؛ آبباریکی، زکیه (۱۳۹۳)، ریز پهنه‌بندی خطر زلزله شهر سبزوار با استفاده از سیستم اطلاعات جغرافیایی، *جغرافیا و توسعه*. شماره ۳۵: ۱۵۲ – ۱۳۳.
- [۴]. اسمیت، کیت (۱۳۹۱)، *مخاطرات محیطی*. ترجمه ابراهیم مقیمی؛ شاپور گودرزی‌نژاد، چاپ پنجم. سمت، ۲۸۸ صفحه.
- [۵]. بنیاد مسکن انقلاب اسلامی (۱۳۹۰)، ریز پهنه‌بندی ژئوتک لرزه شهر سنندج. *پژوهشکده سوانح طبیعی*.
- [۶]. سیف، عبدالله؛ خسروی، قاسم (۱۳۸۹)، بررسی تکتونیک فعال در قلمرو تراست زاگرس منطقه فارسان. *پژوهش‌های جغرافیای طبیعی*. شماره ۷۴: ۱۴۶ – ۱۲۵.
- [۷]. سازمان آب منطقه‌ای غرب استان کردستان، مرداد (۱۳۹۳)، داده‌های سطح ایستایی آب شهرستان کامیاران.
- [۸]. شهابی، هیمن؛ قلیزاده، محمدحسین؛ نیری، هادی (۱۳۸۸)، پهنه‌بندی خطر زمین‌لرزه با روش تحلیل چندمعیاره فضایی جغرافیا و توسعه. شماره ۲۱: ۸۰ – ۶۵.
- [۹]. قنبری، ابوالفضل؛ سالکی ملکی، محمدعلی؛ قاسمی، معصومه (۱۳۹۲)، پهنه‌بندی میزان آسیب‌پذیری شهرها در مقابل خطر زمین‌لرزه (نمونه موردی: شهر تبریز)، *جغرافیا و مخاطرات محیطی*. شماره ۵: ۳۵ – ۲۱.

- [۱۰]. ملکی، امجد (۱۳۸۶)، پنهانه‌بندی خطر زمین لرزه و اولویت‌بندی بهسازی مساکن در استان کردستان، پژوهش‌های جغرافیایی. شماره ۵۹: ۱۲۴ - ۱۱۵.
- [۱۱]. مقیمی، ابراهیم (۱۳۸۸)، اکوژئومورفولوژی و حقوق رودخانه‌ها، انتشارات دانشگاه تهران.
- [۱۲]. میرزایی، نوربخش؛ حیدری، رضا (۱۳۸۸)، الگوی لرزه زمین ساختی گسل اصلی عهد حاضر زاگرس بین ۳۳ تا ۳۵ درجه عرض شمالی. مجله فیزیک زمین و فضا: ۸۳-۹۶.
- [۱۳]. نگارش، حسین (۱۳۸۳)، زلزله، شهرها و گسل‌ها، نشریه پژوهش‌های جغرافیایی دانشگاه تهران، شماره ۵۲: ۵۱-۳۴.
- [۱۴]. کامرانی دلیر، حمید؛ باقری، سجاد (۱۳۹۰)، مورفومتری و ارزیابی شاخص‌های ژئومورفیک برای تعیین میزان فعالیت نوزمین ساخت در حوضه آبریز چله (زاگرس شمال غربی) فصلنامه تحقیقات جغرافیایی. شماره ۷۸۵: ۱۶۲۷۰ - ۱۶۲۴۵.
- [15]. Andrew s. Goodie. (2014), Geomorphological Hazards and Disaster Prevention Edited by raceme Alcan Tara – Ayala. Book DOI: <http://dx.doi.org/1001.10171cb.978.511807527>.
- [16]. Bull,W.B.and Mcfadden,L.(1977).Tectonic geomorphology north and south of the Garloc fault. California. In:Do,(ed),Geomorphologyin arid regions publ.In geomorphology, state university of new york.pp. 115-138.
- [17]. Keller,M.,Totschnig, R.,Glade,T.(2012),Improvement of vulner ability cures using data from extreme events: debris flow eventin south tyrol 2083-2105
- [18]. Keller, E.A, Pinter, n.(1996),Active tectonic, Earthquakes, uplift .and landscape. Prentice Hall, pup.
- [19]. Li,y.yang.j.&Tan,L,Duan,f.(1999),Impact of tectonic alluvial landforms in the latex. corridor, northwest china,Geomorphology,28 pp:299-308.
- [20]. Laurap.perucca a,b martin Roth is b,c, Horacion.2014.Morph tectonic and nontectonic control on river pattern in the sierra de la canter a piedmont, central Precordillera ,province of san Juan,Argentina673-682.
- [21]. Silva. P.G.J.L, Zazo.C.Bardij,T.(2003), fault generated mountain frouts in southeast Spain: geomorphology assessment of tectonic and seismic activity, Geomorphology, 203-205
- [22]. Ramirez, Herrera.m.T.(1998),Geomorphic assessment of active tectonic in the Acamby Graben ,Mexican volcanic belt. Earth surface process and landform,vo123.
- [23]. Thomas.L.satty.(1988),Decision-making for leaders,Rws publication.
- [24]. Vimal sing.s.k.Tandon .(2008),The pinjaur dun (inter Montane longitudinal valley) and associated active mountain fronts, NW Himalaya: Tectonic geomorphology and morph tectonic evolution, department of geology.
- [25]. Jackson,J.,Van Dissen,R., Berryman,K(1998),Tilting of Active Folds and Faults in the Manawatu region , New Zealand , Evidence from surface Drainage patterns, New Zealand Journal of Geology and Geophysics 41,pp.377- 385.

- [26]. Hamdouni,R. E, Irigaray,c. , Fernandez, T. , chcon, J., Keller, E .A.(2008), Assessment of relative active tectonic, south west border of the sierra noada.(southern spain).geomorphology.96:150-173.

Archive of SID